

## ブロックの摩擦係数と波高透過率との関係について

(株) 新日本技術コンサルタント 正員 工博 神月隆一  
正員 工博 副 世輝

一般に異形ブロック又は捨石に依つて構成される消波堤の消波形式としては、(a)波がブロックの凹凸表面を流水に際し摩擦に依りエネルギーを消散せるもの、(b)波がブロック間に大きな空隙を流水に際し乱水に依り渦に依りエネルギーを消散せるもの、(c)水流を相互に衝突させ回転せらるエネルギーを消散せるもの、(d)ブロックの空隙に依り水の弹性圧縮の効果を利用してエネルギーを吸収消散せるもの等がある。これらの形式に対する消波效果を量的に検討することは消波堤の形式、規模、設置条件、波の特性、海底地形、水深等の影響に依り水理現象が非常に複雑多様であるため、非常に難しく問題である。現在に至り適切な方法はまだ確立されていない様である。これらの各因子に依る效果を量的に検討するためには細部に亘り大がかりな解析及び水理実験を行つ必要があらう。

本研究は消波堤の表れず综合特性とブロックの摩擦係数に着目し、開水路の理論が適用できるものと波高の透過率について2次元的に考察したものである。

図-1は示す模型について自由表面下にある任意点の圧力は静水圧分布と仮定し、垂直方向の加速度效果を無視すると運動及び連続方程式は次のようである。  
 $\frac{\partial \xi}{\partial t} + f \frac{\partial \xi}{\partial z} - g h \frac{\partial^2 \xi}{\partial z^2} = 0 \quad (1)$   
 $\eta = -h - \frac{\partial \xi}{\partial z} \quad (2)$

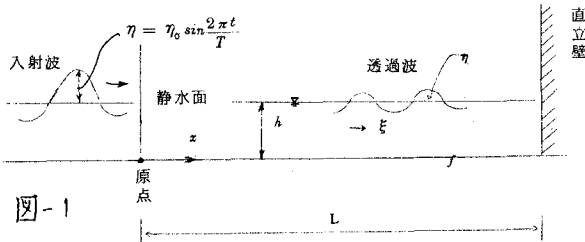


図-1

ここで、 $\xi$ ：水粒子の変位量、 $\eta$ ：静水面よりの変化量、 $\eta_0$ ：入射波の半波高、 $f$ ：相当摩擦係数 ( $f = \frac{g f_0}{\omega h} = \frac{f_0 P}{\omega A}$ )、 $f_0$ ：摩擦係数、 $h$ ：水深、 $g$ ：重力加速度、 $P$ ：潤度、 $\omega$ ：水の単位重量、 $t$ ：時間、 $T$ ：波の周期、 $L$ ：消波堤より直立壁迄の距離、 $A$ ：流積。

(1) 及び (2) 式に依り一般解は次のようになら。

$$\begin{aligned} \xi &= e^{pz} [C \cos(\frac{2\pi t}{T} + qx) + D \sin(\frac{2\pi t}{T} + qx)] \\ &+ e^{-pz} [C' \cos(-\frac{2\pi t}{T} - qx) - D' \sin(-\frac{2\pi t}{T} - qx)] \end{aligned} \quad (3)$$

$$\begin{aligned} \frac{\partial \xi}{\partial t} &= e^{pz} [-\frac{2\pi}{T} C \sin(\frac{2\pi t}{T} + qx) + \frac{2\pi}{T} D \cos(\frac{2\pi t}{T} + qx)] \\ &+ e^{-pz} [-\frac{2\pi}{T} C' \sin(-\frac{2\pi t}{T} - qx) - \frac{2\pi}{T} D' \cos(-\frac{2\pi t}{T} - qx)] \end{aligned} \quad (4)$$

$$\begin{aligned} \eta &= -h e^{pz} [(C_p + D_q) \cos(\frac{2\pi t}{T} + qx) + (D_p - C_q) \sin(\frac{2\pi t}{T} + qx)] \\ &+ h e^{-pz} [(C'_p - D'_q) \cos(-\frac{2\pi t}{T} - qx) - (D'_p + C'_q) \sin(-\frac{2\pi t}{T} - qx)] \end{aligned} \quad (5)$$

本考案に対象とする模型を図-2に示すように考え、透過後の波体直立壁に於ける完全反射条件(2次元)を示す。境界条件は(2)(3)(4)及び(5)式を解くと(6)式のようになる。

境界条件：

$$(1) \quad x_1 = l_1, \quad x_2 = 0 \text{ に於ける } \eta_1 = \eta_2, \quad \frac{\partial \xi_1}{\partial t} = \frac{\partial \xi_2}{\partial t}$$

$$(2) \quad x_1 = 0 \text{ に於ける } \eta_1 = \eta_2.$$

$$\eta_1 = \eta_0 \sin \delta t, \quad (\delta = \frac{2\pi}{T})$$

$$(3) \quad L = l_2 \text{ に於ける } \frac{\partial \xi_2}{\partial t} = 0$$

∴ 1)  $l_1$ ：消波堤の平均幅、 $l_2$ ：消波堤終点より直立壁迄の距離、

$\eta_0$ ：透過後の半波高、 $\eta_1$ ：消波堤に於ける半波高、 $f_1$ ：消波堤の相当摩擦係数( $= \frac{f_{1P}}{S/A}$ )、 $f_2$ ：水路の相当摩擦係数( $= \frac{f_{2P}}{S/A}$ )、 $f'_1$ 、 $f'_2$ ：大々口形状の水路の摩擦係数。

透過後地点に於ける半波高 $\eta_2$ は

初期値  $\eta_0$ 、 $l_1$ 、 $l_2$ 、 $h$ 、 $f_1$ 、 $f_2$ 、 $T$  と定め

∴ (6)式に於ける各係数が求まり、(4)式

(1)得る

$$\eta_2 = M_1 \sin \delta t + M_2 \cos \delta t \quad (8)$$

を得る。

$$\therefore \begin{cases} M_1 = [(c \cdot e^{P_1 x_2} + a \cdot e^{P_2 x_2}) \sin q_1 \ell_2 \\ \quad - (d \cdot e^{-P_1 x_2} + b \cdot e^{-P_2 x_2}) \cos q_1 \ell_2] \end{cases}$$

$$M_2 = [(d \cdot e^{-P_1 x_2} - b \cdot e^{-P_2 x_2}) \sin q_2 \ell_2 \\ \quad + (c \cdot e^{-P_1 x_2} - a \cdot e^{-P_2 x_2}) \cos q_2 \ell_2]$$

$$a = h(C_1 p_1 + D_1 q_1)$$

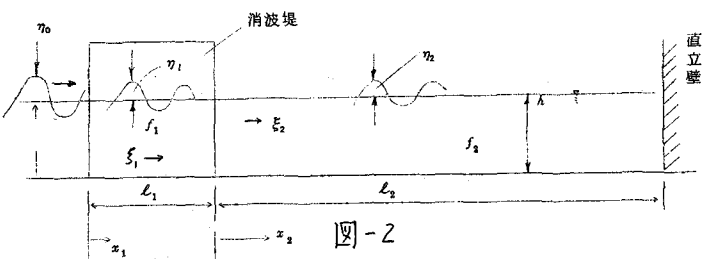
$$b = h(D_1 p_1 - C_1 q_1), \quad c = h(C_2 p_2 - D_2 q_2)$$

是常状態に於ける2の透過後の最大半波高 $\eta_{2(\max)}$ は  $\eta_{2(\max)} = \sqrt{a^2 + b^2} + \sqrt{c^2 + d^2}$

∴ 2) 表かす。結果大々口消波堤に於ける最大透過率 $\eta_{r(\max)}$ は  $\eta_{r(\max)} = f'_1 / f'_2$  の摩擦係数 $f'_1$ が如小体次のように求まる。

$$\eta_{r(\max)} = \eta_{2(\max)} / \eta_0 \quad (10)$$

図-3 は一例で  $l_1 = 50\text{cm}$ ,  $l_2 = 500\text{cm}$ ,  $f_1 = 5.0, 7.5, 10.0$ ,  $h = 20\text{cm}$ ,  $\eta_0/h = 0.4$ ,  $T = 0.2 \sim 2.4\text{ sec}$  に於ける初期条件に対する2透過率 $\eta_{r(\max)}$ と  $T_* = \frac{6}{\sqrt{2gh}}$  との関係を示す。図-4 は5を更数と2透過率



$$\begin{aligned} -\phi_1 C_1 - \phi_2 D_1 + \phi_3 C'_1 + \phi_4 D'_1 + p_2 C_2 + q_2 D_2 - p_1 C'_2 + q_1 D'_2 &= 0 \\ \phi_1 C_1 - \phi_2 D_1 + \phi_3 C'_1 - \phi_4 D'_1 - q_2 C_2 + p_2 D_2 + q_1 C'_2 + p_1 D'_2 &= 0 \\ a_2 C_1 + a_2 D_1 + \beta_2 C'_1 + \beta_1 D'_1 - C_2 + 0 - C'_2 + 0 &= 0 \\ -a_2 C_1 + a_2 D_1 + \beta_1 C'_1 - \beta_2 D'_1 + 0 - D_2 + 0 + D'_2 &= 0 \quad (b) \\ p_1 C_1 + q_1 D_1 - P_1 C'_1 + q_1 D'_1 + 0 + 0 + 0 + 0 &= 0 \\ q_1 C_1 + p_1 D_1 - q_1 C'_1 - p_1 D'_1 + 0 + 0 + 0 + 0 &= \frac{\eta_0}{h} \\ 0 + 0 + 0 + 0 - r_1 C_2 + r_2 D_2 + r_3 C'_2 - r_4 D'_2 &= 0 \\ 0 + 0 + 0 + 0 + r_2 C_2 + r_1 D_2 + r_4 C'_2 + r_3 D'_2 &= 0 \end{aligned}$$

$$\left. \begin{aligned} a_1 &= e^{P_1 \ell_1} \sin q_1 \ell_1 & r_1 &= e^{P_2 \ell_2} \sin q_2 \ell_2 \\ a_2 &= e^{P_1 \ell_1} \cos q_1 \ell_1 & r_2 &= e^{P_2 \ell_2} \cos q_2 \ell_2 \\ \beta_1 &= e^{-P_1 \ell_1} \sin q_1 \ell_1 & r_3 &= e^{-P_2 \ell_2} \sin q_2 \ell_2 \\ \beta_2 &= e^{-P_1 \ell_1} \cos q_1 \ell_1 & r_4 &= e^{-P_2 \ell_2} \cos q_2 \ell_2 \\ p_1 &= e^{P_1 \ell_1} (p_1 \sin q_1 \ell_1 + q_1 \cos q_1 \ell_1) & \\ p_2 &= e^{P_1 \ell_1} (p_1 \cos q_1 \ell_1 + q_1 \sin q_1 \ell_1) & \\ q_1 &= e^{-P_1 \ell_1} (p_1 \cos q_1 \ell_1 + q_1 \sin q_1 \ell_1) & \\ q_2 &= e^{-P_1 \ell_1} (p_1 \sin q_1 \ell_1 - q_1 \cos q_1 \ell_1) & \end{aligned} \right\} \quad (7)$$

$$d = h(D_1 p_2 + C_2 q_2) \quad (8)$$

$$\eta_{2(\max)} = \sqrt{a^2 + b^2} + \sqrt{c^2 + d^2} \quad (9)$$

$\eta_{r(\max)}$  と消波堤の相当摩擦係数  $f_r$  の関係について、 $h = 10, 15, 20 \text{ cm}$  についての計算結果を示したものである。

これらは計算結果より以下に示す結論が得られる。

(1) 同一入射波に対する消波堤の相当摩擦係数  $f_r$  又はアロウツの摩擦係数  $f'_r$  が大きくなるほど、波高の通過率は小さくなる。  $f_r$  の小さい領域においては、 $f_r$  の増大に伴い、通過率は急激に減少する傾向にあるが、  $f_r$  がある値以上になると、立即消波堤の規模をさらに大きくしても、通過率を小さくすることは期待は薄いと言ふ意味である。このことから消波堤を設計するには、この点について十分検討し経済的効果を考慮する必要があることを意味する。 $f_r$  の小さい領域においては、入射波の特性に依り通過率が 1.0 以上になることもある。 $f_r$  の小さな重複波の形成があり、この点について十分検討する。

(2) 同一入射波に対する水深が大きい程、通過率が大きい。さらに入射波の特性に依り水深が大きい程、通過率の変化範囲が大きくなる。又通過率の最大及び最小値は入射波周期の値は水深に依るが異る。この位相の小さな部分で後から検討する。

(3) 同一消波堤の規模及びその設置地点に対する、入射波の特性に依る通過率が大きく異なる。この点で消波堤を設計するときには、入射波の特性を十分に把握する。所定の通過率 ( $\eta_{r(\max)}$ ) が与えられた場合の消波堤規模は、その設置地点の選定が小なりに依る。

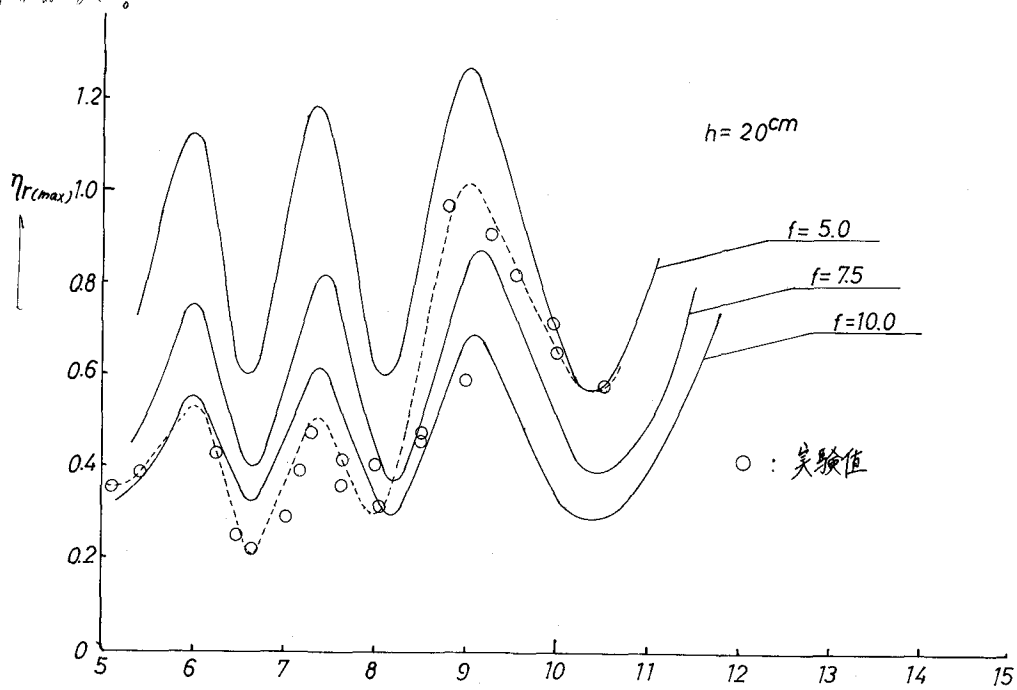


図-3

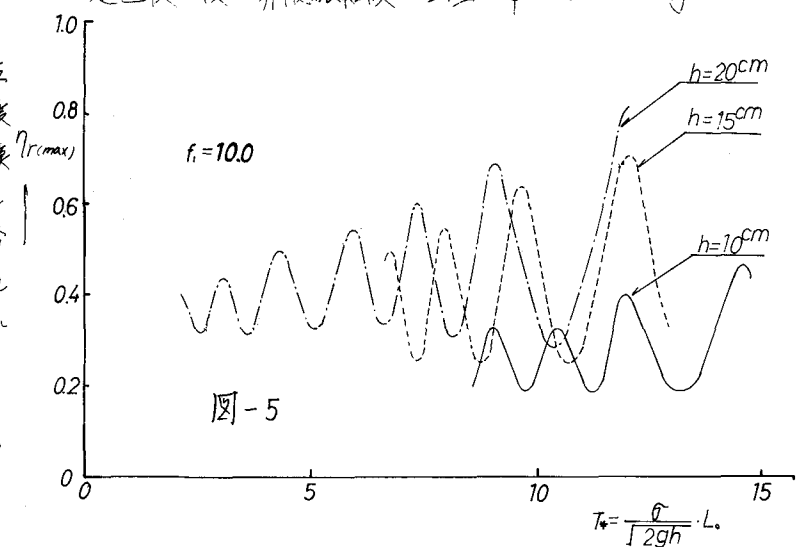
$$T_r = \frac{\sigma}{\sqrt{2gh}} \cdot L$$

上記は実験結果の確認する意味で、計算は用いた諸元に基づいて模型を作成し、水深  $h = 20\text{ cm}$  の場合の実験を行った結果が図-3(=実験)通りである。実験は使用した水槽幅  $1.0\text{ m}$ 、高さ  $1.0\text{ m}$ 、長さ  $37.0\text{ m}$  のものであり、造波機はピストン型である。消波堤の模型は実物と同样  $8\text{ t} \times 1\text{ t}$  のテトラポッド、縮尺 1:5、標準積みのものを用いた。実験は用いた入射波の波高  $2.0\text{ cm} \sim 8.0\text{ cm}$ 、波形勾配  $0.1 \sim 0.01$  の範囲である。

この結果から明らかなように実験値の通過率は入射波の特性に依る変化をすることが判る。この変化の傾向も計算値と一致し、理論の妥当性を確認することができた。入射波の特性  $T_s < 8$  の領域において、本消波堤の相当摩擦係数  $f_1 = 10.0$  は適応し、 $T_s > 8$  の場合は  $f_1 = 7.5$  は相当であると言える。この相異はテトラポッドの消波堤の断面形状が計算に用いた仮定と多少異なるためである。通過後、波が有限振幅波の性質を帯びることが示される。

$f_1 = 10.0$  程度とし、  
水深  $h = 20\text{ cm}$  の場合の  
計算値  $\eta_{\max}$  は  $0.11$  程度  
 $f_1 = 10.0$  が  $1\text{ m}$  の積み模  
倣値である。実物は  $h = 2$   
倍の程度 ( $= 20\text{ cm}$ ) で、今  
後  $f_1 = 7.5$  (縮尺効果) によ  
る実験を行なう場合は  $h = 15\text{ cm}$   
程度のものとなる。

(本研究実験昭和43年3月～5月  
期間にて行なわれた。  
図-5は実験値である。)



参考文献:  
GEORGE R. RICH, HYDRAULIC  
TRANSIENTS, DOVER PUBLICATION,  
INC., NEW YORK, 1963.

